

1. まえがき

くり返し応力を受ける土の性質に関する研究は最近非常に多くなり、それにともない実験装置も種々のタイプのもののが試作され使用されている。中でもくり返し三軸試験装置は操作の簡便性、確実性、静的試験における実験等から多く使用されているようであるが、今後この種の実験が、研究の段階から一般的な実用の段階に至る場合においても、この状況は変わらないと予想される。しかし、この試験装置では現実の地盤の応力状態を厳密に再現することは困難なこと、同じ応力を加えるにしても供試体の变形を圧縮側にするか引張り側にするかなどのように応力の載荷方法によって結果が異なるという試験方法そのものからくる欠陥を有している。今回の研究はこれらの問題のうち主に後者の内容について注目したものであり、乾燥状態の豊浦砂を用いて5種類の方法でくり返し応力を載荷し、残留体積ヒズミについて、各々の試験から得られる結果を比較検討した。

2. 実験方法

用いた装置は空気圧式のくり返し三軸試験機であり、制御された空気圧と電磁弁の開閉によりベロフラムシリンダーに出し入れし、近似矩形のくり返し応力を発生させるタイプのものである。装置の詳細については他に発表すみである¹⁾。供試体は径5cm、高さ12cmの円柱形で密度は密づめ($D_r = 80\%$)、中づめ($D_r = 50\%$)、ゆるづめ($D_r = 30\%$)の3種とした。応力の載荷方法はFig.1に示す5種である。図中試験名の記号については、Zは軸方向、Rは側方向のくり返し応力の載荷を示し、一方Cは応力の増加、Tは減少を各々意味している。また、実験を通じて、くり返し応力の加わっていない静態時においては、 $\sigma_{3S} = 2.0 \text{ kg/cm}^2$ の等方応力状態となるようにした。くり返し応力の大きさとは、Fig.1のモール円に示すように、圧縮側と引張り側で発揮される内部サツ角 ϕ_{mob} の大きさで規定し、 ϕ_{mob} を約5°あきに破砕カイに至るまで段階的に増加し、各段階で100回の載荷を行うといふいわゆるstage testの方式をとった。計測は軸方向の応力と変形、および側方向の応力については電磁オシログラフに自記させ、残留体積変化は空気マノメータによつて測定した。

3. セン断応力の方向が交番しない場合について

セン断応力の方向が逆転しない試験(以後片振りといふ)はFig.1中のZ-C試験(軸圧縮)とZ-T試験(軸引張り)の2つである。Fig.2はゆるづめの場合についての $\tan \phi_{mob}$ と体積ヒズミの関係を示したものである。図中末尾に△の記号のついたものは静的試験の結果であり、×印と破線で示されているのはセン断応力が逆転する試験(以後両振りといふ)の結果の平均値である。Fig.2によれば、同じ方向に応力を加えても、くり返し加える場合と静的に加える場合

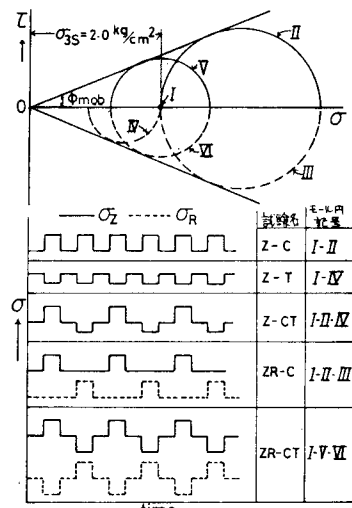


Fig. 1 応力載荷方法

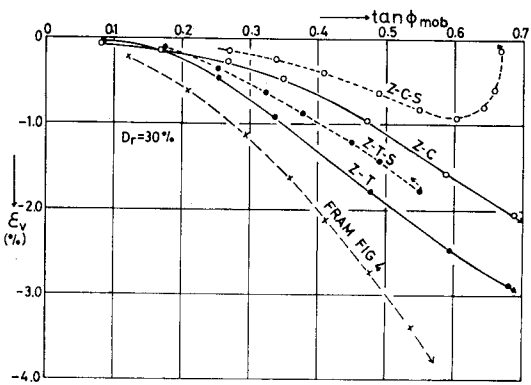


Fig. 2 片振り試験における体積ヒズミ

とでは明らかに前者の方が体積ヒズミが大きく、さらにこの違いは破砕に進くなつたところでより顕著になることが分かる。また、圧縮側と引張り側では後者の方が体積ヒズミが大きく、これは石原らがくり返し三軸試験機で液状化試験を行う場合の問題点として指摘したことと傾向的には一致している。ついでに圧振りと両振りの两者を比較してみると、後者の方の体積ヒズミの大きいことは当然としても、Fig. 2 では2つの片振り試験の体積ヒズミを加え合わせたものと両振り試験のそれとかほぼ同じ値になっている点が注目される。

4. セン断応力が交番する場合について

Fig. 1 中の3種の両振り試験の間ゲキ比の変化を Fig. 3 に、ゆるぎめの場合の体積ヒズミについて Fig. 4 に示してある。これらの中によれば、 $\tan \phi_{mob}$ を応力として選ぶと、それに対する体積ヒズミには、3種のくり返し応力の載荷法による違いはほとんど見られないといえる。土岐らは両振り試験において、くり返し応力の大きさと、間ゲキ比は直線関係にあることを示しているが、Fig. 3 の結果は、その結果とは異なっており、本実験の結果では、Fig. 4 に示されるように体積ヒズミが $\tan \phi_{mob}$ と両対数紙上で直線関係をなしている。ただし以上の結果は Fig. 1 に示すように圧縮側と引張り側とで同じ ϕ_{mob} になるように応力載荷をした場合のものであることは考慮に入れておく必要があろう。

各応力レベルにおける体積変化との関係は八木の提案した式、 $\%E_v = a n + b$ の関係がnの小さいところではほぼ成立することが Fig. 5 の例から分かる。このa, b と $\tan \phi_{mob}$ の関係を示したもののが Fig. 6 である。Fig. 6 と a, b との関係は両対数紙上で直線関係にあり、さらに2つの直線はほぼ平行になること、また、この関係においても3種の応力載荷法の違いの影響は現われてこないことが分かる。

最後に、実験を行ってくれた元学生学生、薄井美雄君、庄内睦君、辰巳和司君に感謝します。

文献 1) 鈴木輝之：技術報告資料17号

3) 土岐比郎：土質工学会論文報告集 Vol. 13, No. 3

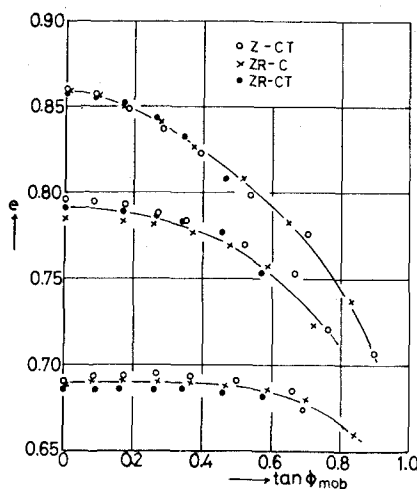


Fig. 3. $\tan \phi_{mob}$ と間ゲキ比変化

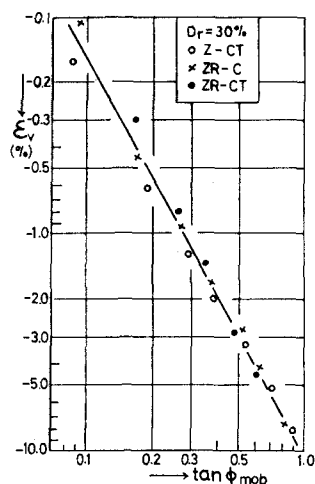


Fig. 4. $\tan \phi_{mob}$ と体積ヒズミ

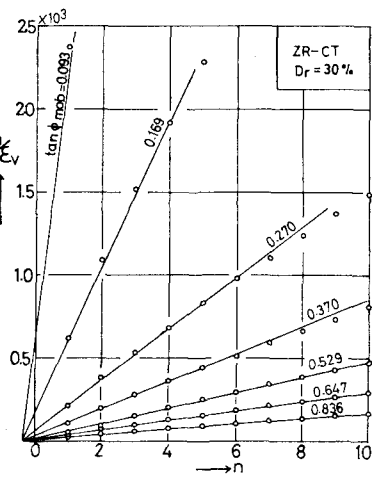


Fig. 5. n と $\%E_v$ の関係

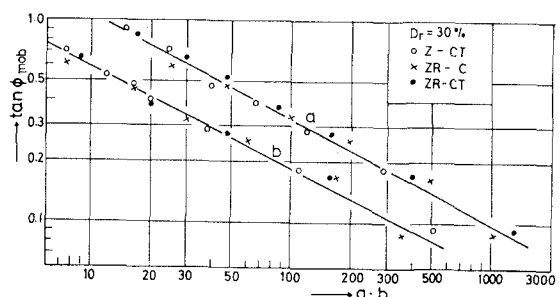


Fig. 6. $\tan \phi_{mob}$ と係数 a, b の関係

2) 石原研而：土と基礎 Ser No. 208

4) 八木則夫：第6回工質工学研究発表会